

IV-137 道路交通事故のマクロ分析と動向予測 —回帰分析によるアプローチ—

日本航空 正員。井口雅夫
東京大学 正員 大藏 泉

1.はじめに わが国の道路交通事故は昭和44年まで増加の一途をたどっていたが、44～46年をピークに減少傾向を示し始め、特に47年以降では急激な落ち込みを示していく。こうした減少傾向は何に由来するのかを把握すること、すなわち事故を減少させた要因の定量的把握は、今後の交通安全対策策定上にきめめて有効な資料を提供することになり得よう。本研究は、道路交通事故と各県・各年における事故原因との定量的関係を重回帰分析的手法を用いて明らかにする目的とする。また得られた回帰式は、今後の長期的動向をふまえた説明要因の値を適用して、将来の交通事故の動向を予測する。

2.回帰モデルの考え方 これまでのマクロ分析は主として道路交通事故を同一時点における地域的な要因の変動に着目して分析が行なわれてきたが、ここでは時系列的な変動を考慮することはどうぞ。

一般に統計的手法を用いて事故を分析する場合、事故と事故原因との関係はそれぞれの変動をもとに捉えられるものであり、クロスセクションつまり地域的な変動の下で「要因」が、時系列的に大きな変動をして場合、クロスセクションデータに基づいた分析結果では説明がつかないこじらを考えられる。このように2種の変動に強く影響されると考えられる交通事故を分析するには、交通事故と事故原因との関係を、それと同一時点における地域的な変動と同一地域における時系列的な変動の両方から捉えるのが妥当であると考えられる。

本研究では地域的な変動を捉えるための単位を全国の各都道府県(46)とし、時系列的な変動を捉える時間単位を42年から48年までの各年にとった。したがってサンプル数は $46 \times 7 = 322$ であり、各サンプルは独立であるとみなされる。

実際の分析に当っては、残差変動が各説明変数(事故原因)に対する時系列的性、有意な漏りを示さず、かつできるだけ小さく抑えられるよう回帰構造の検討を行なった。

3.資料 交通事故および事故原因に関する各年・各都道府県別の資料は、次の項目について収集整理を行ない、磁気テープに記録した。

- 交通事故の推移 • 車両台数の推移 • 交通量、走行台キロ、走行速度の推移 • 道路状況の推移
- 人口、運転免許保有者数の推移 • 交通安全施設等の推移 • 交通規制、取締り等の推移
- 交通安全教育、公報活動等の推移 • 救急施設等の推移 • 公園等の推移

4.解析における諸変数 各地域における変数を対比できる指標となるため、基準化が必要を生ずる。

○被説明変数： 道路単位延長当たり事故件数、単位走行台キロ当たりの事故件数を採用したが、モデルの安定性も考慮し、単位道路面積当たりの事故件数を被説明変数として採用した。

- 説明変数 ① 自動車走行台キロ = 走行台キロ / 道路面積 ② 人口 = 人口 / 道路延長
- ③ 規制・信号 = 交通規制機器数と信号機数の相乗平均 / 道路延長 : (交通安全施設、取締りを含む)代表変数(?)
- ④ 新規免許者率 : 運転免許1年未満の者は1年以上の者に比較して1.6倍の事故率となる。こうした新規免許者の危険度を台数を補正する形で考慮した。
- ⑤ 保有台数の伸び率 : モータリゼーションの進展度を表す指標で、回帰構造の点からは事故の時系列

変動を表わす重要な変数

⑥ 自動車走行台キロの2乗項：回帰構造の検討を行なう過程で(残差変動傾向の検討)必要とされた变数、走行台キロ一次項との相関を認めると意味から平均値からの差の2乗を採った。

⑦ 道路密度 ≡ 道路延長 / 地域面積；道路の交錯状況を反映する指標

⑧ 安全意識：別場・シミュレーションモデルにおいて有効な説明要因となつたが、回帰分析における他の要因(規制・信号)との相関がさりげなく高いため、導入できなかった。モデルの形の上では規制・信号によって代表されたことになつていい。

5. 分析結果 表-1は総事故件数を被説明変数とした場合の回帰分析結果を示したものである。最終的な回帰構造としてはStep 2'の結果がほぼ妥当であると考えてよいであろう。この結果においては、Step 1で行った自動車走行台キロによる単相関分析結果と比較して、各説明変数につれての残差変動傾向および時系列的な残差変動傾向とともに有意な偏りは見られず、かつ残差変動が小さくなっている。また、被説明変数と説明変数との対応関係(偏回帰係数の符号)も矛盾がなく常識に符合する回帰構造となる。本研究では、総事故件数の他に、形態別(車両、車両人)の事故件数についても同様の分析を行ない、ほぼ満足すべき結果が得られていい。

図-1は表-1に示された総事故件数につれての回帰式(Step 2')による推定値と実現値との対応を時系列で示したものである。図-1は形態別(車両)の結果も含めてのもの。これより、ほぼ良好な対応を示していいことが分らる。この他、各都道府県別につけても同様の対比を行なつていいが、大抵おおむね良好な結果が得られた。

回帰モデルの場合もありても、別場シミュレーションモデルで行ったと同様の将来の動向予測と、総件数および形態別につけて行なつていい。図-2は、これらの予測値の中昭和55年の総事故件数につけて、回帰モデルおよびシミュレーションモデルの2つの方法で予測したケースごとの対応を示したものである。図-2から両予測値はかなりよい合致を示していいことがわかる。

なお本研究は筆者らの他 東京大学の越正毅、中村英夫両助教授を中心とした研究グループの所産である。

表-1 総事故件数を被説明要因とする回帰分析結果

STEP	説明要因	偏回帰係数	t 値	偏相関係数	重相関係数
1	台キロ*	1.79	3.134	-	0.868
	台キロ*	1.84	3.118	0.868	
2	人口	5.05×10^3	2.861	0.798	0.957
	信号・規制	-0.94×10^2	1.503	-0.645	
2'	台キロ*	1.77	2.832	0.847	
	人口	4.86×10^3	2.484	-0.818	
3	信号・規制	-8.98×10^2	1.504	-0.646	0.966
	保有台数伸び率 (台キロ*) ²	4.80×10^2	1.99	0.111	
	道路密度	-5.62×10^{-4}	8.88	-0.447	
3	台キロ*	1.56	2.352	0.798	
	人口	5.09×10^3	2.722	0.888	
3	信号・規制	-9.28×10^2	1.650	-0.681	0.970
	保有台数伸び率 (台キロ*) ²	3.98×10^2	1.76	0.100	
	道路密度	-4.49×10^{-4}	7.27	-0.879	

(台キロ* は台キロの新規免許者率による補正值)

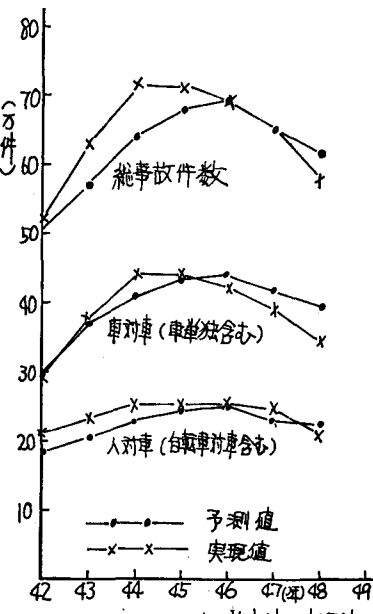


図-1 回帰モデルによる推定値と実現値

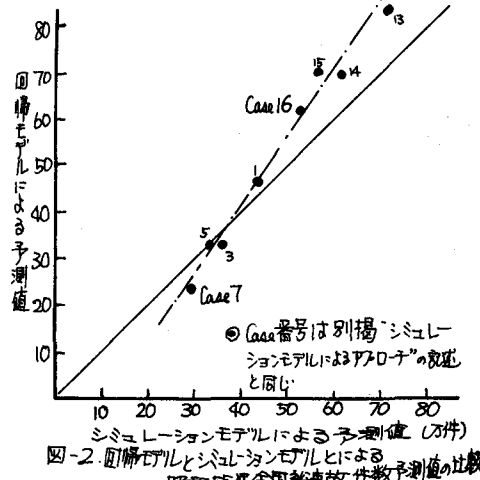


図-2 回帰モデルとシミュレーションモデルによる予測値の比較